



第五章 频率响应法

5.1 频率特性的基本概念

5.2 典型环节的频率特性

5.3 开环系统频率特性图的绘制

5.4 控制系统的频域稳定判据

5.5 稳定裕量

5.6 开环系统频率特性与闭环系统性能的关系

5.7 闭环频率特性和频域性能指标

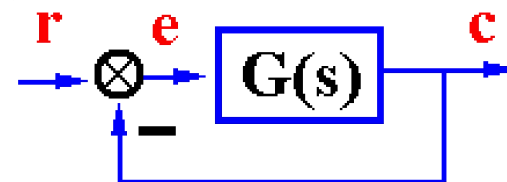


5.7 闭环频率特性

一、由开环频率特性求取闭环频率特性

单位负反馈系统，开环传递函数为 $G(s)$ ，系统的闭环传递函数：

$$\Phi(s) = \frac{G(s)}{1 + G(s)}$$



系统的闭环频率特性

$$\Phi(j\omega) = \frac{G(j\omega)}{1 + G(j\omega)} = M(\omega)e^{j\alpha(\omega)}$$

$M(\omega)$ ——闭环系统的幅频特性

$\alpha(\omega)$ ——闭环系统的相频特性



5.7 闭环频率特性

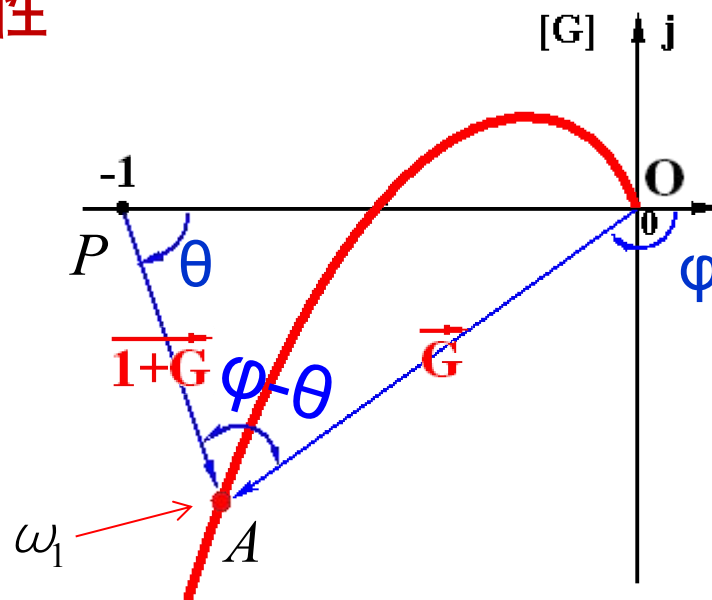
由开环幅相特性曲线确定闭环频率特性

$$\Phi(j\omega) = \frac{G(j\omega)}{1 + G(j\omega)} = M(\omega) \cdot e^{ja(\omega)}$$

$$G(j\omega) = \overrightarrow{OA}$$

$$1 + G(j\omega) = \overrightarrow{PA}$$

$$\Phi(j\omega) = \frac{|\overrightarrow{OA}|}{|\overrightarrow{PA}|} \left(\angle \overrightarrow{OA} - \angle \overrightarrow{PA} \right)$$



闭环频率特性的幅值是向量 \overrightarrow{OA} 与 \overrightarrow{PA} 的幅值之比；

闭环频率特性的相角是向量 \overrightarrow{OA} 与 \overrightarrow{PA} 的夹角；



5.7 闭环频率特性

1. 等M圆（等幅值轨迹）

设开环频率特性 $G(j\omega)$ 为: $G(j\omega) = P(\omega) + jQ(\omega)$

系统的闭环频率特性

$$\Phi(j\omega) = \frac{G(j\omega)}{1 + G(j\omega)} = M(\omega)e^{ja(\omega)}$$

令 $M = |M(j\omega)|$, 则:

$$M\sqrt{(P+1)^2 + Q^2} = \sqrt{P^2 + Q^2}$$

整理得: $(1-M^2)P^2 + (1-M^2)Q^2 - 2M^2P = M^2$



5.7 闭环频率特性

$$(1-M^2)P^2 + (1-M^2)Q^2 - 2M^2P = M^2$$

(1) 当 $M=1$ 时，由上式可求得 $P=-1/2$

这是通过点 $(-1/2, j0)$ 且与虚轴平行的一条直线。

(2) 当 $M \neq 1$ 时，由上式可化为

$$\left(P - \frac{M^2}{1-M^2}\right)^2 + Q^2 = \left(\frac{M}{1-M^2}\right)^2$$

对于给定的 M 值（等 M 值），上式是一个圆的方程。

$$\text{圆心: } \left(-\frac{M^2}{M^2-1}, j0\right) \quad \text{半径: } \left|\frac{M}{M^2-1}\right|$$

所以在 $G(j\omega)$ 平面上，等 M 轨迹是一簇圆。



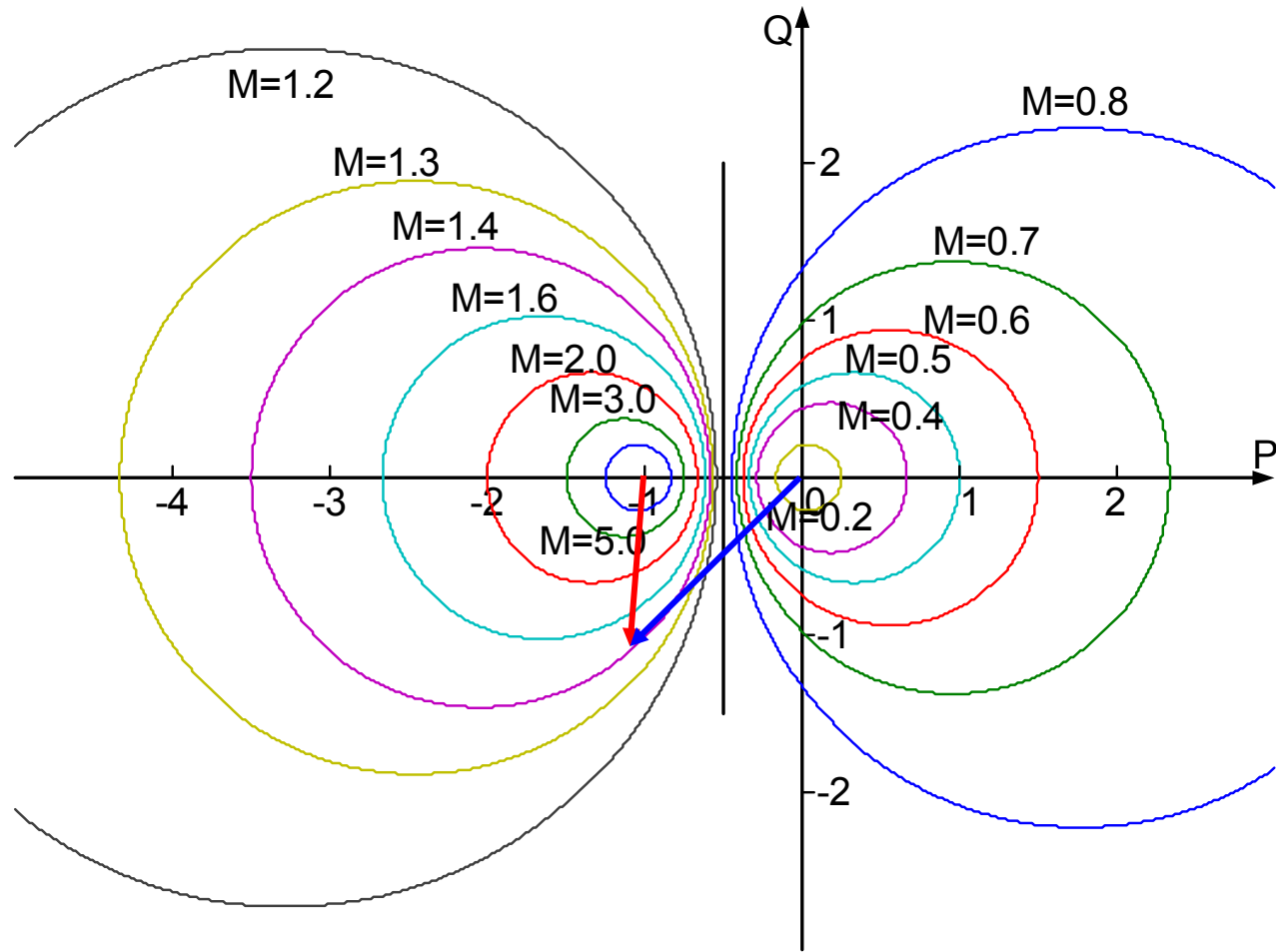
5.7 闭环频率特性

对于给定的 M 值，可算出圆心和半径，在 $G(s)$ 平面上绘出一个圆

M	$20\lg M(\text{dB})$	圆心横坐标P	圆心纵坐标Q	圆半径
0.5	-6.0	0.33	0	0.67
0.7	-3.1	0.96	0	1.37
0.8	-1.9	1.78	0	2.22
1.0	0	∞	0	∞
1.2	1.6	-3.327	0	2.73
1.4	2.9	-2.40	0	1.46
1.6	4.1	-1.64	0	1.03
1.8	5.1	-1.46	0	0.80
2.0	6.0	-1.33	0	0.67
3.0	9.6	-1.13	0	0.38



5.7 闭环频率特性



等 M 圆



5.7 闭环频率特性

◆分析

□当 $M>1$ 时，随着 M 值的增大，等 M 圆半径愈来愈小，最后收敛于 $(-1, j0)$ 点，且这些圆均在 $M=1$ 直线（ $P=-1/2$ ）的左侧；

□当 $M<1$ 时，随着 M 值的减小， M 圆半径也愈来愈小，最后收敛于原点，而且这些圆都在 $M=1$ 直线（ $P=-1/2$ ）的右侧；

□当 $M=1$ 时，它是通过 $(-1/2, 0j)$ 点平行于虚轴的一条直线（ $P=-1/2$ ）。等 M 圆既对称于 $M=1$ 的直线，又对称于实轴。

对单位反馈系统而言，知道开环频率特性的极坐标图在 $G_o(s)$ 平面中的位置，就可确定闭环幅频特性。若知与某等 M 圆相交的频率，就可确定闭环频率特性在这个频率时的幅值。



5.7 闭环频率特性

2. 等N圆（等相角轨迹）

$$G(j\omega) = P(\omega) + jQ(\omega) = P + jQ$$

$$\Phi(j\omega) = \frac{G(j\omega)}{1 + G(j\omega)} = \frac{P + jQ}{1 + P + jQ} = M(\omega)e^{ja(\omega)}$$

闭环频率特性的相角 $\alpha(\omega)$ 为：

$$\alpha(\omega) = \arctan \frac{Q}{P} - \arctan \frac{Q}{P+1}$$

令 $N = \tan \alpha(\omega)$

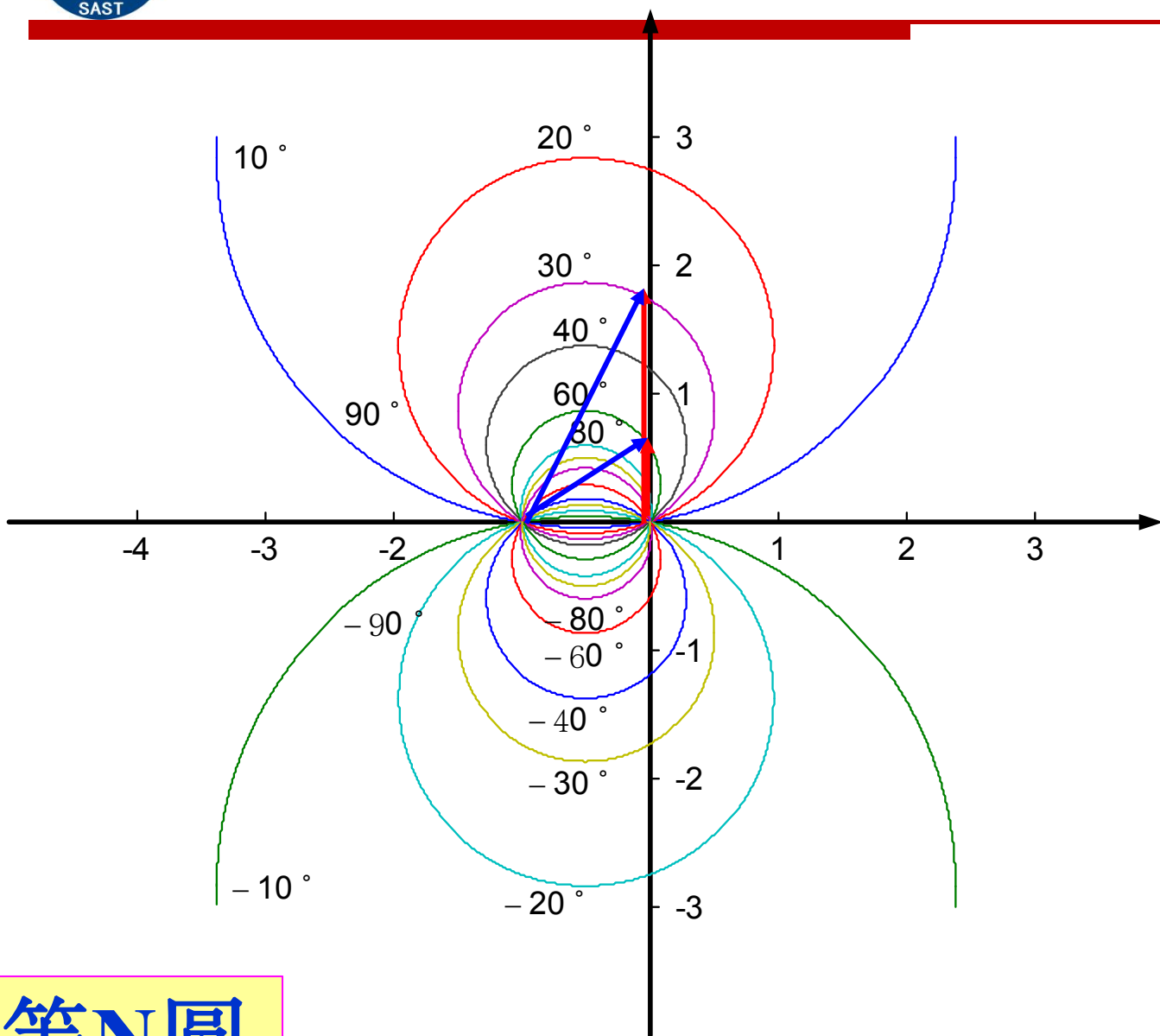
$$\tan(A - B) = \frac{\tan A - \tan B}{1 + \tan A \tan B}$$

整理得：

$$\left(P + \frac{1}{2}\right)^2 + \left(Q - \frac{1}{2N}\right)^2 = \frac{1}{4} + \left(\frac{1}{2N}\right)^2$$



5.7 闭环频率特性



对单位反馈系统而言，当知道开环频率特性的极坐标图在 $G_0(s)$ 平面中的位置，就可确定闭环相频特性。若知与某等N圆相交的频率，就可确定闭环频率特性在这个频率时的相角。

等N圆



5.7 闭环频率特性

❖ 分析

当给定 N 值(等 N 值)时, 上式为圆的方程

$$\text{圆心 } \left(-\frac{1}{2}, \frac{1}{2N}\right) \quad \text{半径 } \sqrt{\frac{1}{4} + \left(\frac{1}{2N}\right)^2}$$

等 N 圆实际上是等相角正切的圆, 当相角增加 $\pm 180^\circ$ 时其正切相同, 因而在同一个圆上;

所有等 N 圆均通过原点和 $(-1, j0)$ 点;

对于等 N 圆, 并不是一个完整的圆, 而只是一段圆弧;



5.7 闭环频率特性

3. 利用等M圆和等N圆求闭环系统频率特性

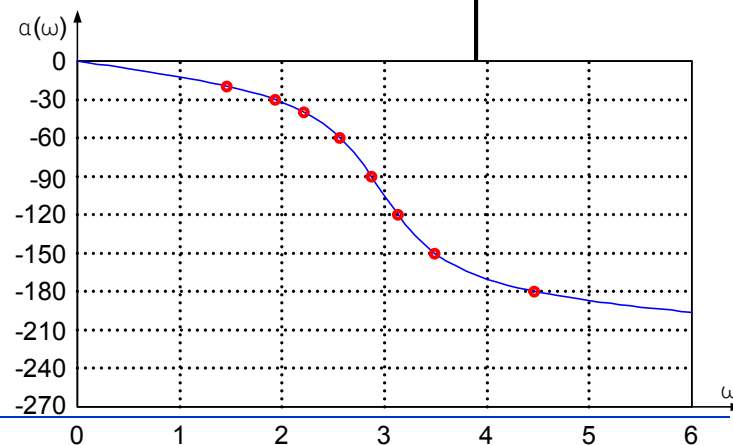
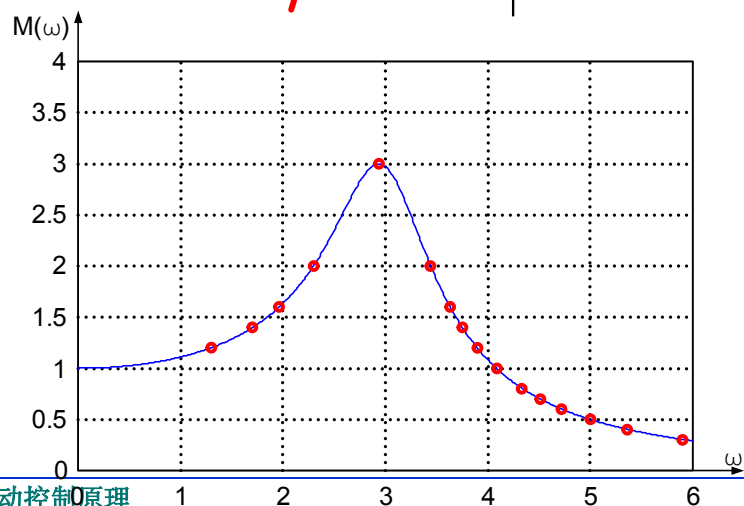
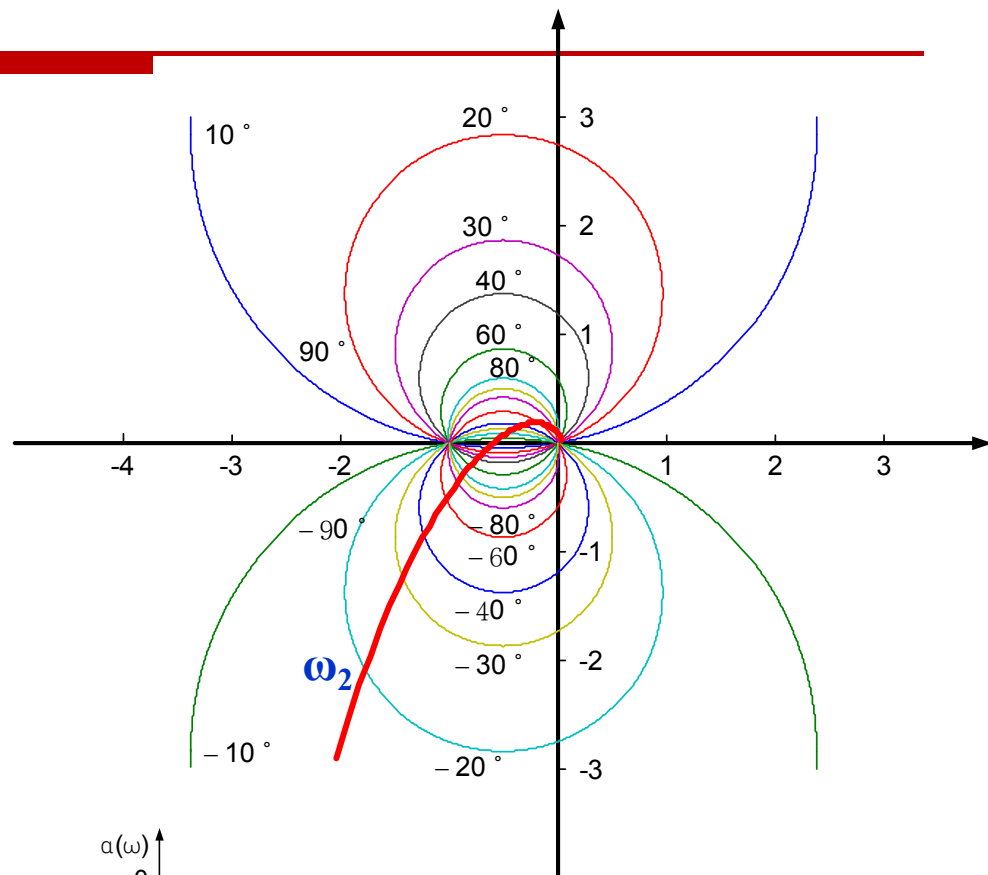
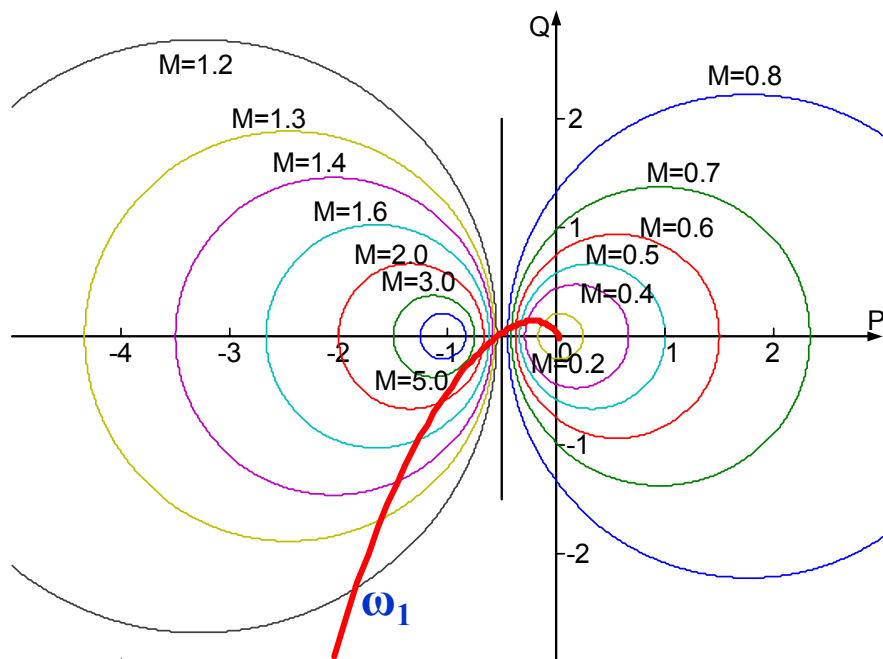
在绘有等M圆图的 $G(s)$ 平面上，画出开环系统频率特性的极坐标图 $G_o(j\omega)$ 。 $G_o(j\omega)$ 与等M圆的交点给出了一组交点频率和与该组频率对应的闭环系统的幅值，据此可以画出以 ω 为横坐标， $M(\omega)$ 为纵坐标的闭环系统幅频特性曲线。

在绘有等N圆图的 $G(s)$ 平面上，画出开环系统频率特性的极坐标图 $G_o(j\omega)$ 。 $G_o(j\omega)$ 与等N圆的交点给出了一组交点频率和与该组频率对应的闭环系统的相角，据此可以画出以 ω 为横坐标， $\alpha(\omega)$ 为纵坐标的闭环系统相频特性曲线。

例：
$$G(s) = \frac{100.5}{s(s+2)(s+10)}$$



5.7 闭环频率特性





5.7 闭环频率特性

在 $\omega=\omega_1$ 处， $G(j\omega)$ 曲线与 $M=1.2$ 的等 M 圆相交表明在 ω_1 频率下，闭环系统的幅值为 $M(\omega_1)=1.2$ 依此类推。

从图上还可看出， $M=3$ 的等 M 圆正好与 $G(j\omega)$ 曲线相切，切点处的 M 值最大，即为**闭环系统的谐振峰值 M_r** ，而切点处的频率即为**谐振频率 ω_r** 。

此外， $G(j\omega)$ 曲线与 $M=0.707$ 的等 M 圆交点处的频率为闭环系统的截止频率 ω_b ， $0 < \omega < \omega_b$ 称为**闭环系统的频带宽度**。

❖ 将开环频率特性的极坐标图 $G(j\omega)$ 叠加在等 N 圆线上，如图(b)所示。 $G(j\omega)$ 曲线与等 N 圆相交于 $\omega_1, \omega_2, \omega_3 \dots$

❖ 如 $\omega=\omega_2$ 处， $G(j\omega)$ 曲线与 -20° 的等 N 圆相交，表明在这个频率处，闭环系统的相角为 -20° ，依此类推得闭环相频特性。



5.7 闭环频率特性

二、尼科尔斯图 (N.b.Nichols)

1、频率特性图示：

1、**极坐标图**——Nyquist图 (幅相频率特性、奈奎斯特图, 简称奈氏图)

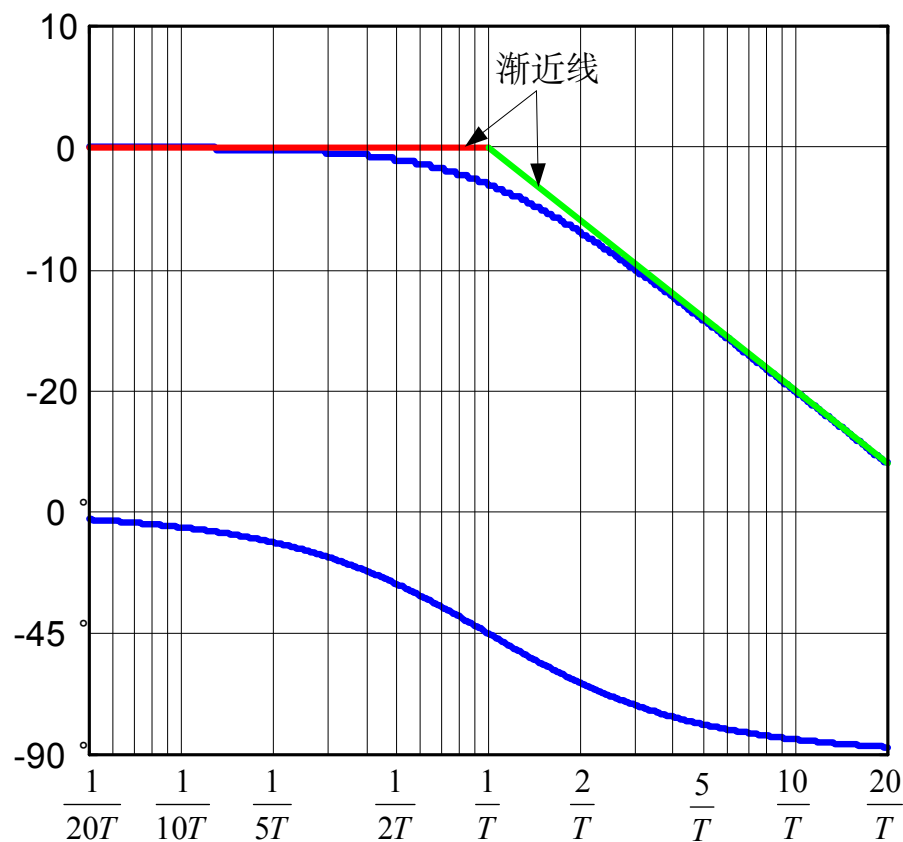
2、**对数坐标图**——Bode图 (伯德图)

3、**对数幅相频率特性图**——Nichols图 (尼柯尔斯图) 。它是以相频特性为横坐标(单位一般为 $^{\circ}$), 以对数幅频特性为纵坐标(单位一般为dB), 以 ω 为参变量的一种图示法。

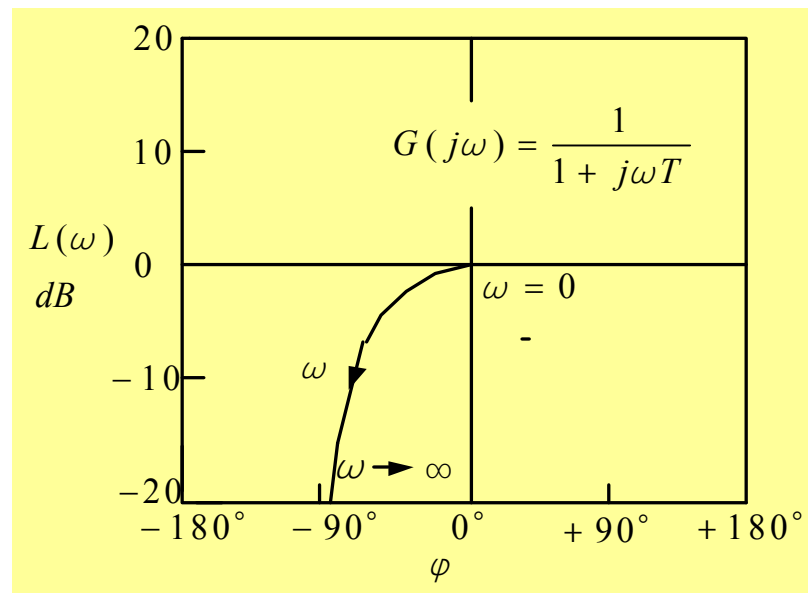


5.7 闭环频率特性

例1: 惯性环节



惯性环节的波德图

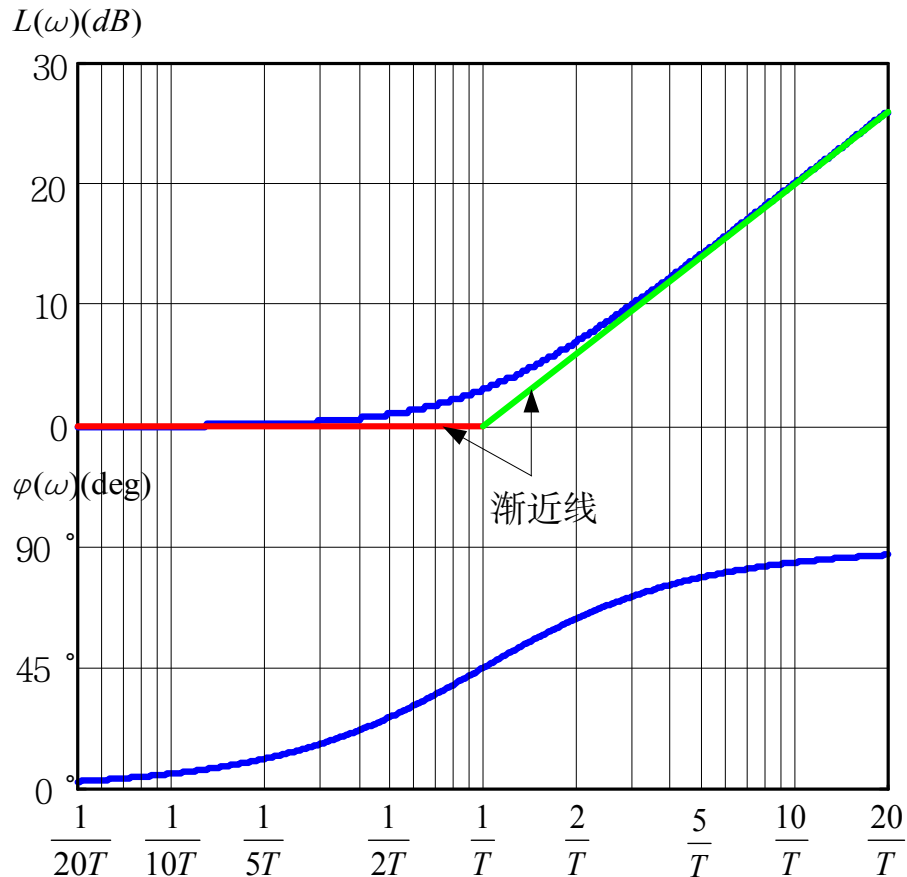


惯性环节的尼柯尔斯图

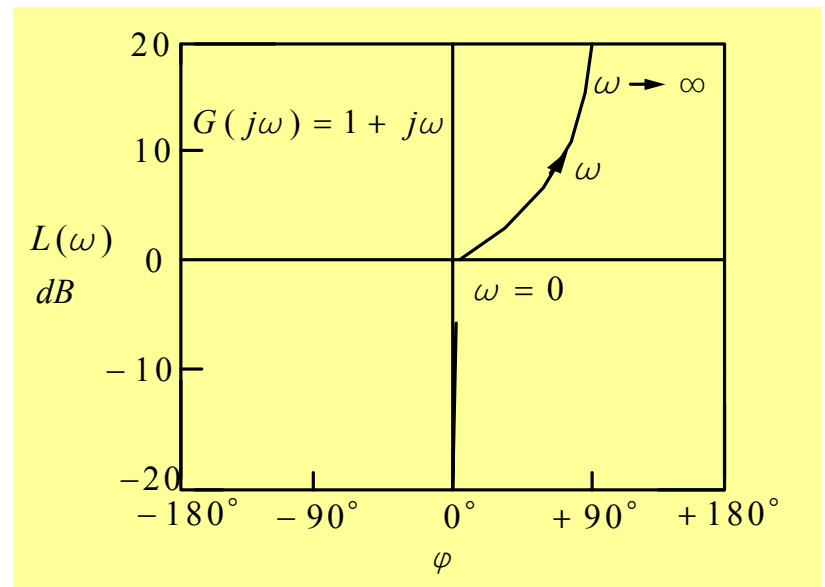


5.7 闭环频率特性

例2：一阶微分环节



一阶微分环节的波德图

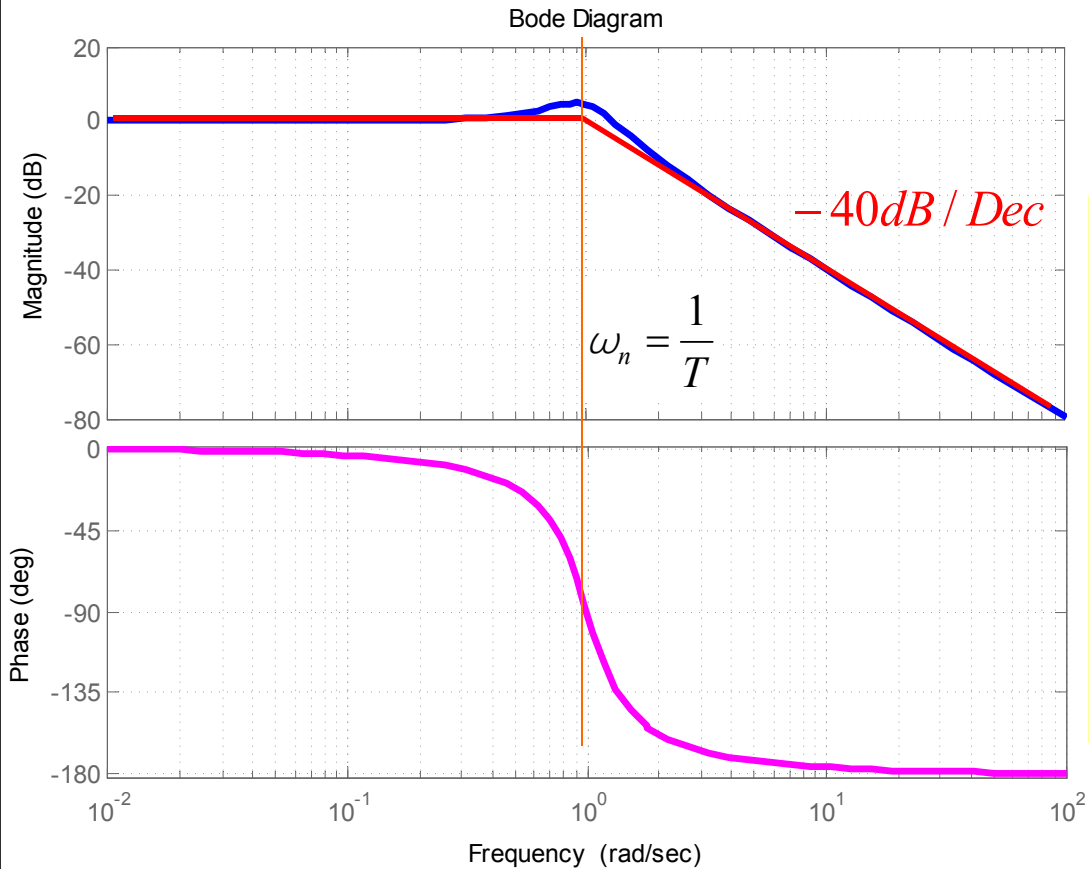


一阶微分环节的尼柯尔斯图

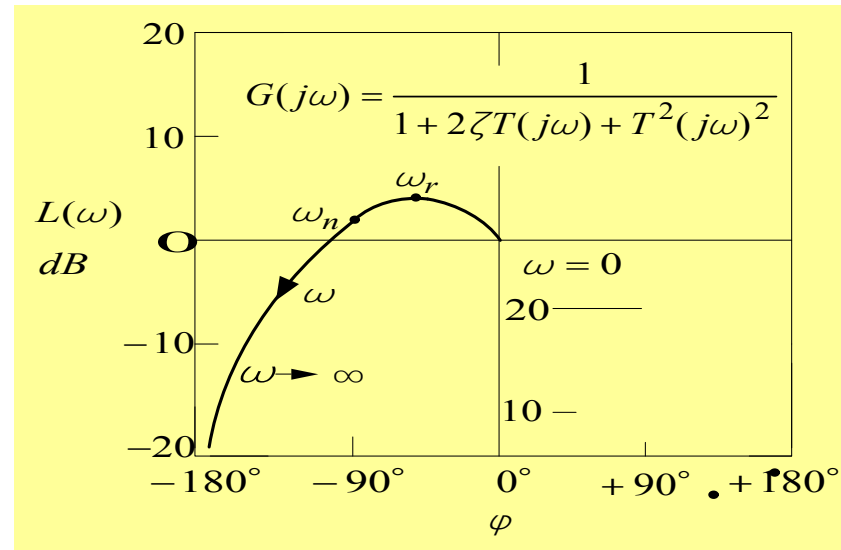


5.7 闭环频率特性

例3: 振荡环节



振荡环节的波德图



振荡环节的尼柯尔斯图



5.7 闭环频率特性

2、Nichols图

❖ 开环频率特性:

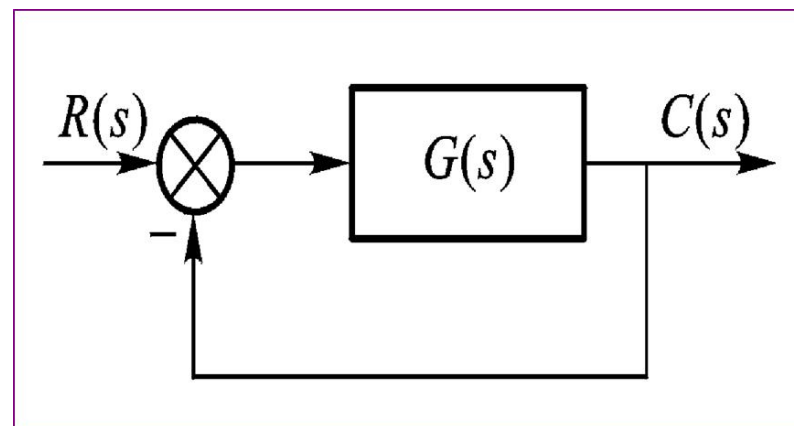
$$G(j\omega) = A(\omega)e^{j\varphi(\omega)}$$

❖ 闭环频率特性:

$$M(\omega)e^{j\alpha(\omega)} = \frac{A(\omega)e^{j\varphi(\omega)}}{1 + A(\omega)e^{j\varphi(\omega)}} = \frac{1}{1 + \frac{1}{A(\omega)e^{j\varphi(\omega)}}}$$

$M(\omega)$ ——闭环系统的幅频特性

$\alpha(\omega)$ ——闭环系统的相频特性





5.7 闭环频率特性

$$Me^{j\alpha} = \left[1 + \frac{1}{Ae^{j\varphi}} \right]^{-1} = \left[1 + \frac{e^{-j\varphi}}{|A|} \right]^{-1} = \left[\left(1 + \frac{\cos \varphi}{|A|} \right) - j \frac{\sin \varphi}{|A|} \right]^{-1}$$

求得 $M = \frac{1}{\sqrt{1 + \frac{2\cos \varphi}{|A|} + \frac{1}{|A|^2}}}$ $(M^{-2} - 1)|A|^2 - 2\cos \varphi |A| - 1 = 0$

$$|A| = \frac{\cos \varphi \pm \sqrt{\cos^2 \varphi + M^{-2} - 1}}{M^{-2} - 1}$$

$$L(\omega) = 20 \lg A = 20 \lg \frac{\cos \varphi \pm \sqrt{\cos^2 \varphi + M^{-2} - 1}}{M^{-2} - 1}$$

令上式中M为常数，当 φ 从 $0^\circ \sim 360^\circ$ 变化时，求得对应的 $L(\omega)$ （可能有两个值），则在 $L(\omega) \sim \varphi(\omega)$ 平面上得到一条**等M曲线**（单位db）。



5.7 闭环频率特性

$$Me^{j\alpha} = \left[1 + \frac{1}{Ae^{j\varphi}} \right]^{-1} = \left[1 + \frac{e^{-j\varphi}}{|A|} \right]^{-1} = \left[\left(1 + \frac{\cos \varphi}{|A|} \right) - j \frac{\sin \varphi}{|A|} \right]^{-1}$$

求得

$$\alpha(\omega) = \arctan \frac{\sin \varphi}{\cos \varphi + |A|} \quad \frac{\sin \alpha}{\cos \alpha} = \frac{\sin \varphi}{\cos \varphi + |A|}$$

$$|A| = \frac{\sin \varphi \cos \alpha - \cos \varphi \sin \alpha}{\sin \alpha}$$

$$L(\omega) = 20 \lg |A| = 20 \lg \frac{\sin [\varphi(\omega) - \alpha(\omega)]}{\sin \alpha(\omega)}$$

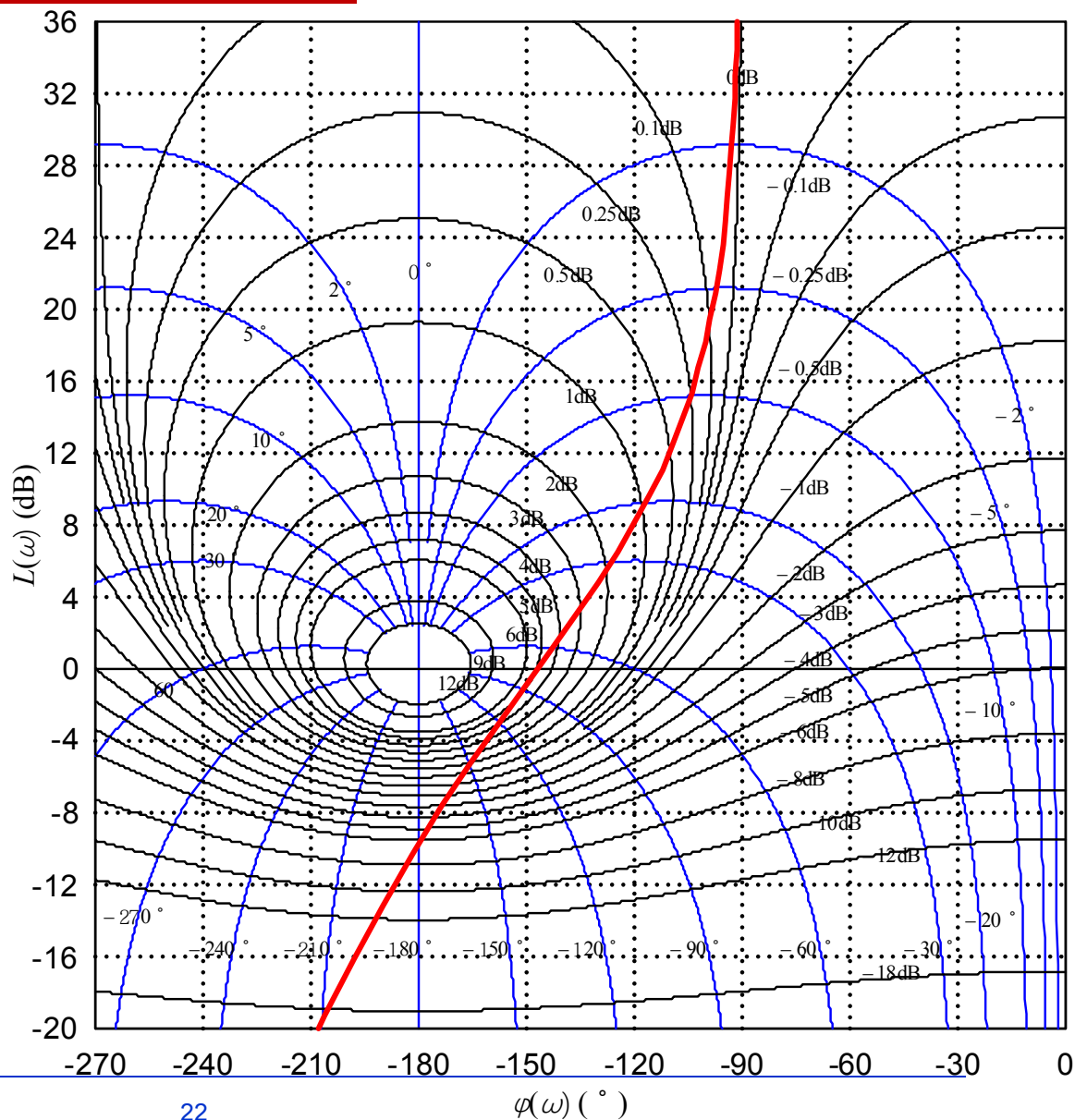
上式令 $\alpha(\omega)$ 为常数， $L(\omega)$ 与 $\varphi(\omega)$ 为单值方程，与求取等M曲线相似的方法在 $L(\omega) \sim \varphi(\omega)$ 平面上得到一条**等 α 曲线**。



5.7 闭环频率特性

等M线和等 α 线组成了尼柯尔斯图线——复合坐标系。画出开环系统的对数幅相频率特性曲线。该曲线与等M线和等 α 线的交点给出了每一频率下闭环系统的对数幅值和相角。据此可以画出闭环系统的Bode图。

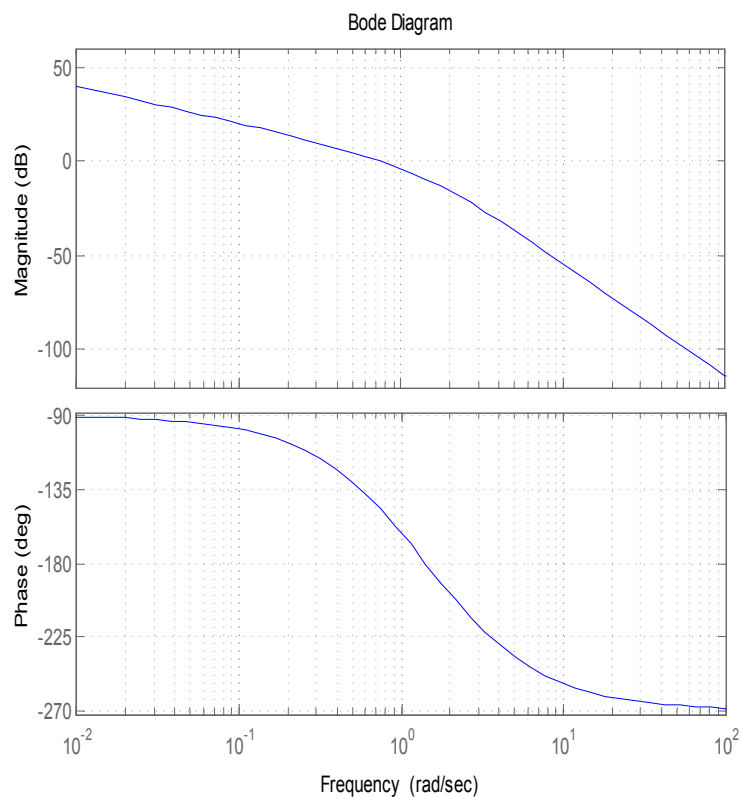
$$G(s) = \frac{1}{s(s+1)(0.5s+1)}$$



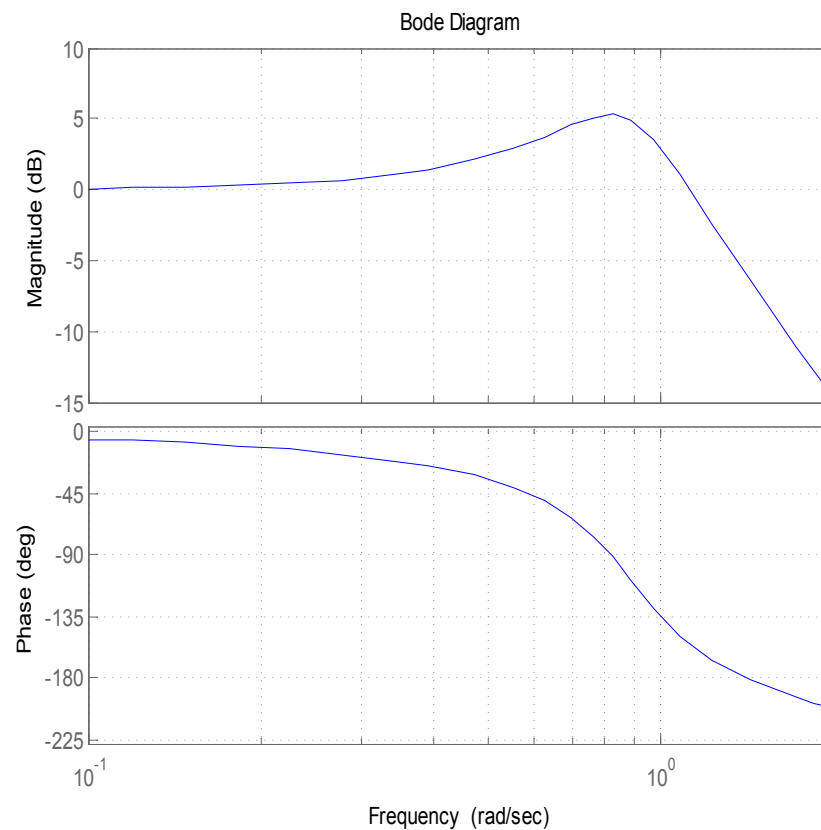


5.7 闭环频率特性

开环Bode图



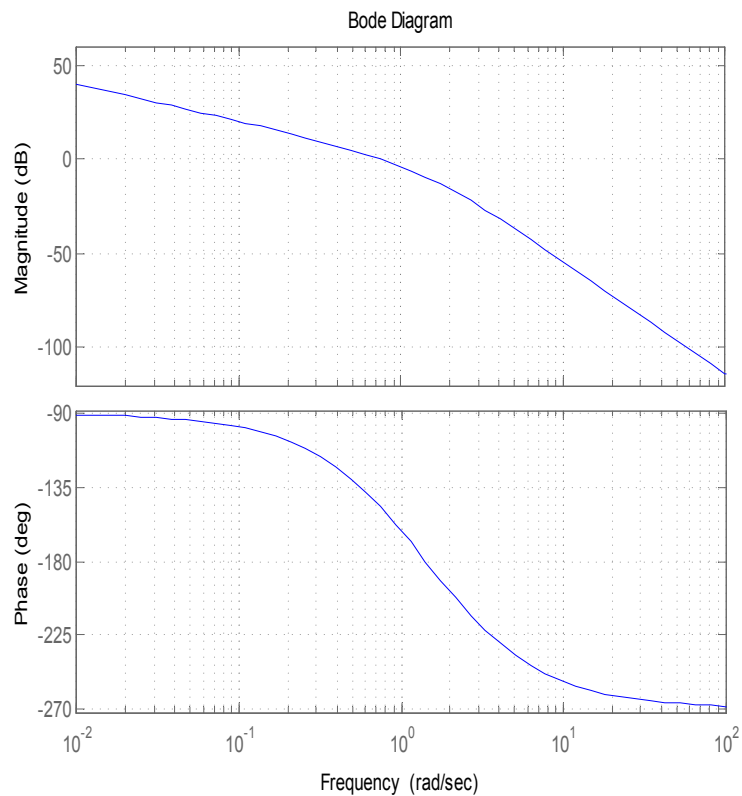
闭环Bode图



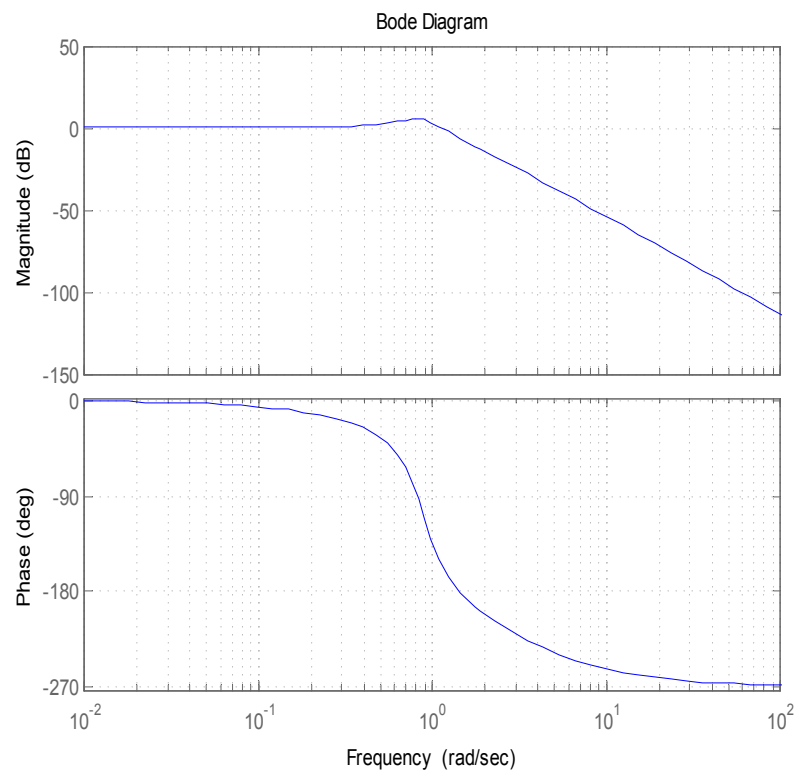


5.7 闭环频率特性

开环Bode图



闭环Bode图



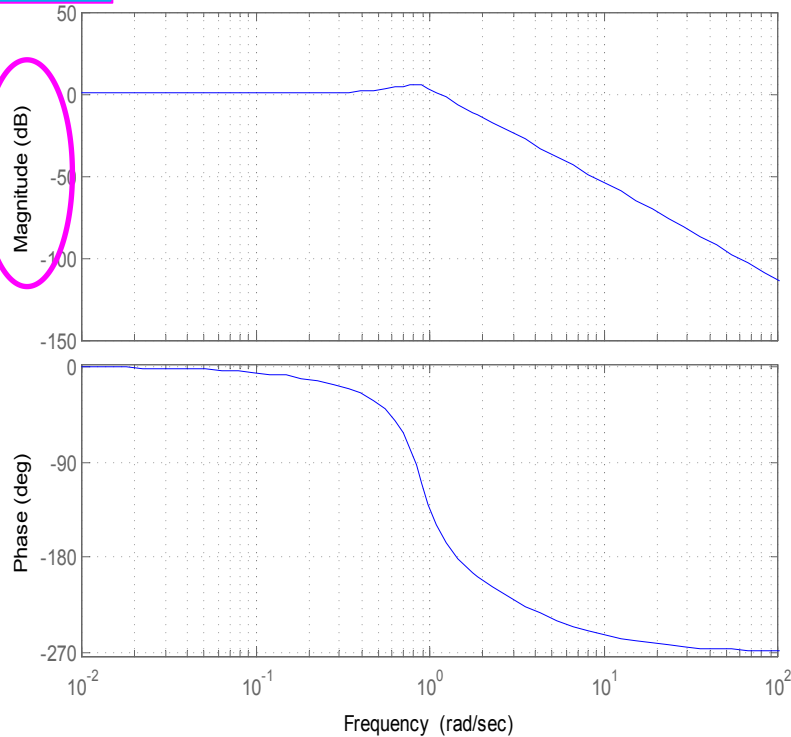


5.7 闭环频率特性

闭环Bode图

$L(\omega)$

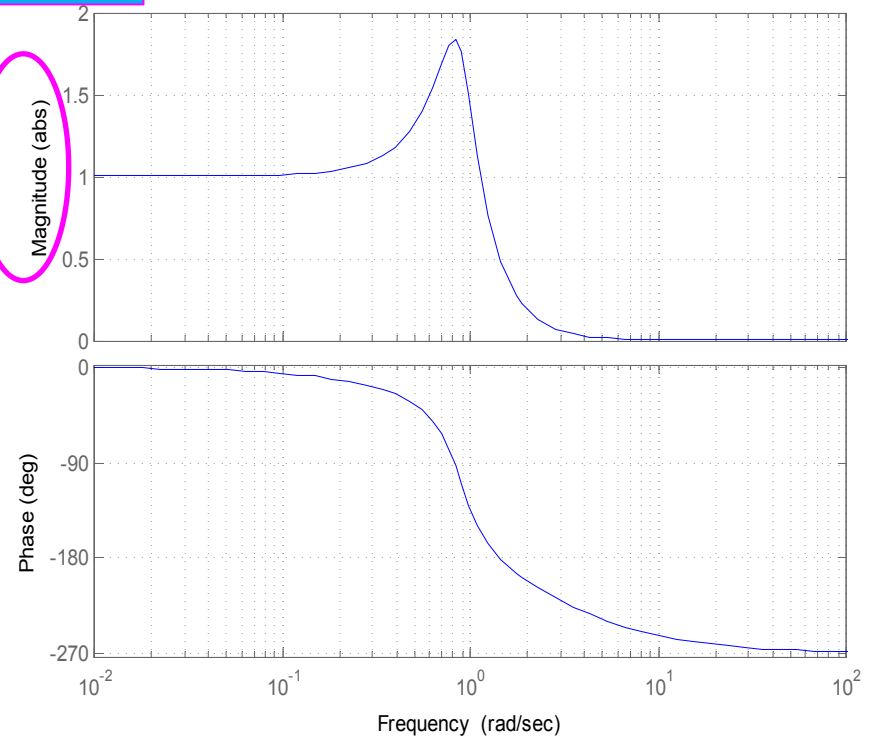
Bode Diagram



闭环幅频/相频图

$M(\omega)$

Bode Diagram





5.7 闭环频率特性

闭环系统的伯德图分析

a. 低频段闭环对数幅频特性与0dB重合

因为 $|G(j\omega)| \gg 1$ 时 $\Phi(j\omega) = \frac{G(j\omega)}{1 + G(j\omega)} \approx 1$

此时 $M = 0dB$ $a = 0^\circ$

b. 高频段闭环对数幅频特性基本上与开环对数幅频特性重合

因为 $|G(j\omega)| \ll 1$ 时 $\Phi(j\omega) = \frac{G(j\omega)}{1 + G(j\omega)} \approx G(j\omega)$

此时 $M(dB) \approx |G(j\omega)|(dB)$ $a \approx \varphi$



在已知闭环系统稳定的条件下，可以只根据系统闭环幅频特性曲线，对系统的动态响应过程进行定性分析和定量估算。



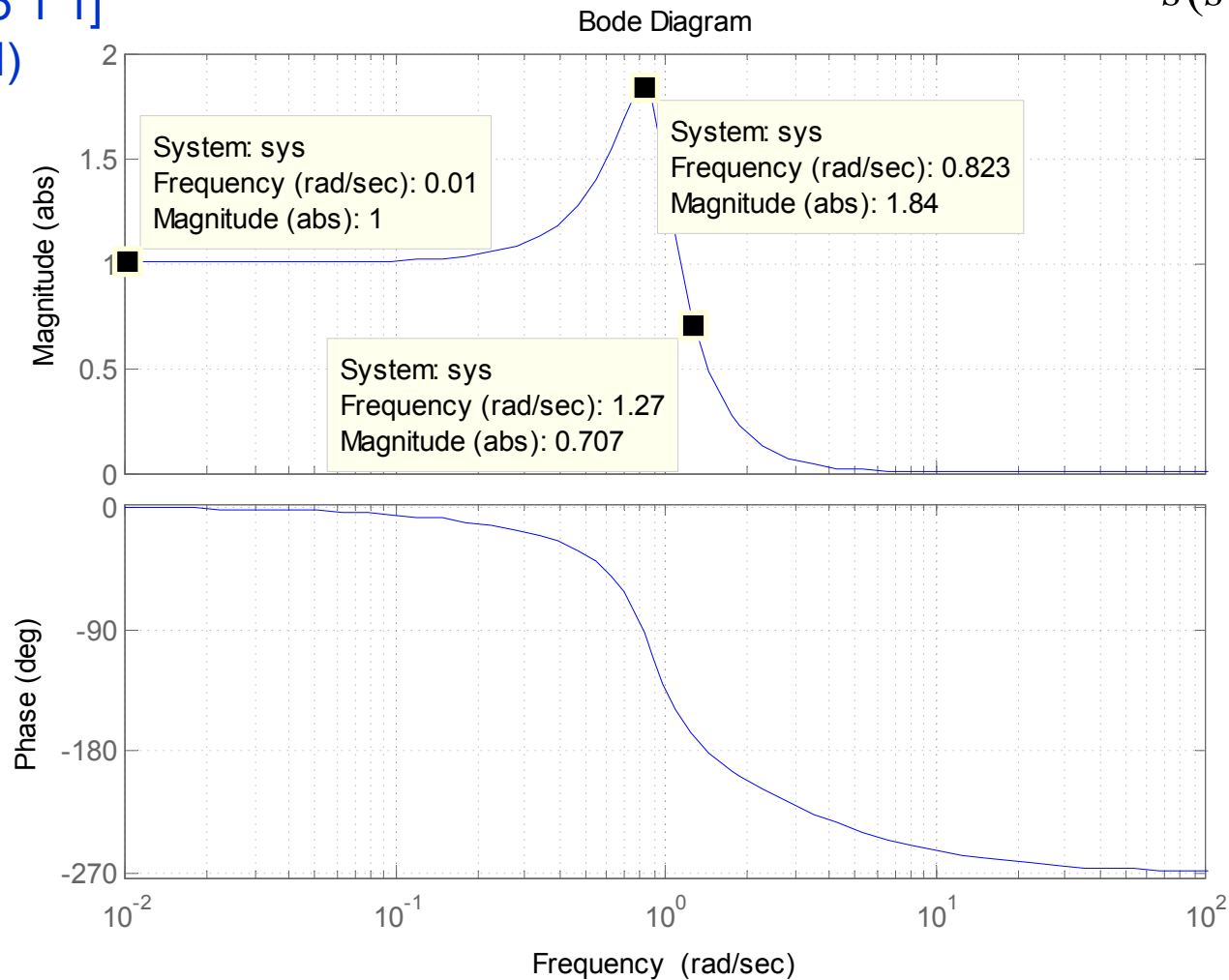
5.7 闭环频率特性

$M=[1]$

$N=[0.5 \ 1.5 \ 1 \ 1]$

Bode(M,N)

$$G(s) = \frac{1}{s(s+1)(0.5s+1)}$$





① 零频的幅值 $M(0)$ 反映系统在阶跃信号作用下是否存在静差。

$M(0)$ 和1之差，反映了系统的稳态精度。

② 谐振峰值 M_r :幅频特性 $M(\omega)$ 的最大值。反映系统的平稳性。

表明系统在频率 ω_r 的正弦输入信号作用下，有共振倾向。一般而言， M_r 越大，系统的平稳性越差，系统阶跃响应将产生较大的超调量。为保证系统具有较好的平稳性，一般实际应用中要求 $M_r \leq 1.4M(0)$ 。



- ③ 带宽频率 ω_b : 幅频特性 $M(\omega)$ 从 $M(0)$ 衰减到 $0.707M(0)$ 时所对应的频率。反映系统的快速性。
- ω_b 越高, 系统所包含的各频率的成分就越丰富, 系统复现快速变化信号的能力就越强, 失真越小, 系统快速性好, 上升时间短。
- ④ 闭环幅频 $M(\omega)$ 在 ω_b 处的斜率反映系统抗高频干扰的能力。



四.典型二阶系统的频域指标与瞬态性能指标的关系

典型二阶系统开环传递函数为: $G_o(s) = \frac{\omega_n^2}{s(s + 2\zeta\omega_n)}$

开环频率特性为: $G_o(j\omega) = \frac{\omega_n^2}{(j\omega)(j\omega + 2\zeta\omega_n)}$

开环幅频特性为: $A(\omega) = \frac{\omega_n^2}{\sqrt{(\omega^2)^2 + (2\zeta\omega_n\omega)^2}}$

开环相频特性为: $\varphi(\omega) = -90^\circ - \arctan \frac{\omega}{2\zeta\omega_n} = -180^\circ + \arctan \frac{2\zeta\omega_n}{\omega}$

令 $A(\omega)=1$, 可求得幅值穿越频率

$$\omega_c = \omega_n \sqrt{\sqrt{4\zeta^4 + 1} - 2\zeta^2}$$

代入 $\varphi(\omega)$, 得

$$\varphi(\omega_c) = -180^\circ + \arctan \frac{2\zeta}{\sqrt{\sqrt{4\zeta^4 + 1} - 2\zeta^2}}$$

系统的相角裕量

$$\gamma = \arctan \frac{2\zeta}{\sqrt{\sqrt{4\zeta^4 + 1} - 2\zeta^2}}$$



5.7 闭环频率特性

闭环传递函数为: $\Phi(s) = \frac{\omega_n^2}{s^2 + 2\zeta\omega_n s + \omega_n^2}$

闭环频率特性为: $\Phi(j\omega) = \frac{\omega_n^2}{(j\omega)^2 + 2\zeta\omega_n(j\omega) + \omega_n^2}$

闭环幅频特性为: $M(\omega) = \frac{\omega_n^2}{\sqrt{(\omega_n^2 - \omega^2)^2 + (2\zeta\omega_n\omega)^2}}$

令 $\frac{dM}{d\omega} = 0$, 可得当 $0 < \zeta < \frac{1}{\sqrt{2}}$ 时

$$\omega_r = \omega_n \sqrt{1 - 2\zeta^2}$$

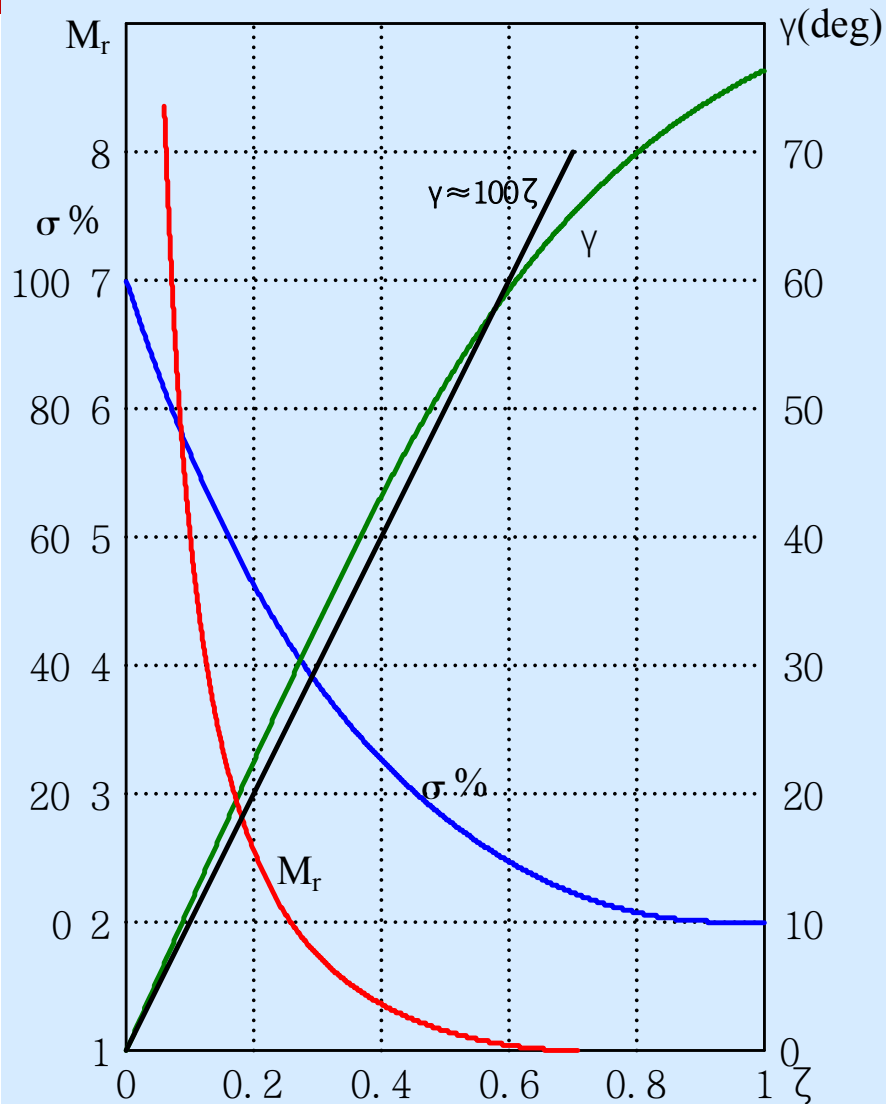
$$M_r = \frac{1}{2\zeta\sqrt{1 - \zeta^2}}$$

令 $M(\omega) = \frac{1}{\sqrt{2}} M(0) = \frac{1}{\sqrt{2}}$ 时, 可得 带宽频率 ω_b

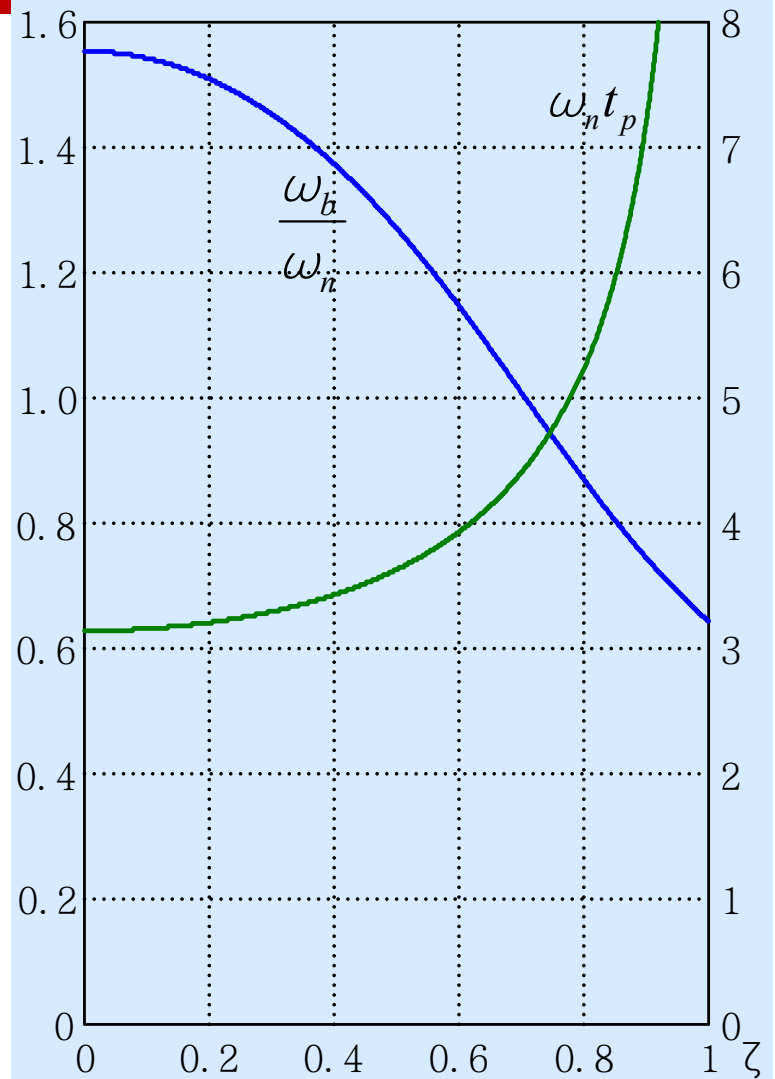
$$\omega_b = \omega_n \sqrt{1 - 2\zeta^2 + \sqrt{2 - 4\zeta^2 + 4\zeta^4}}$$



5.7 闭环频率特性



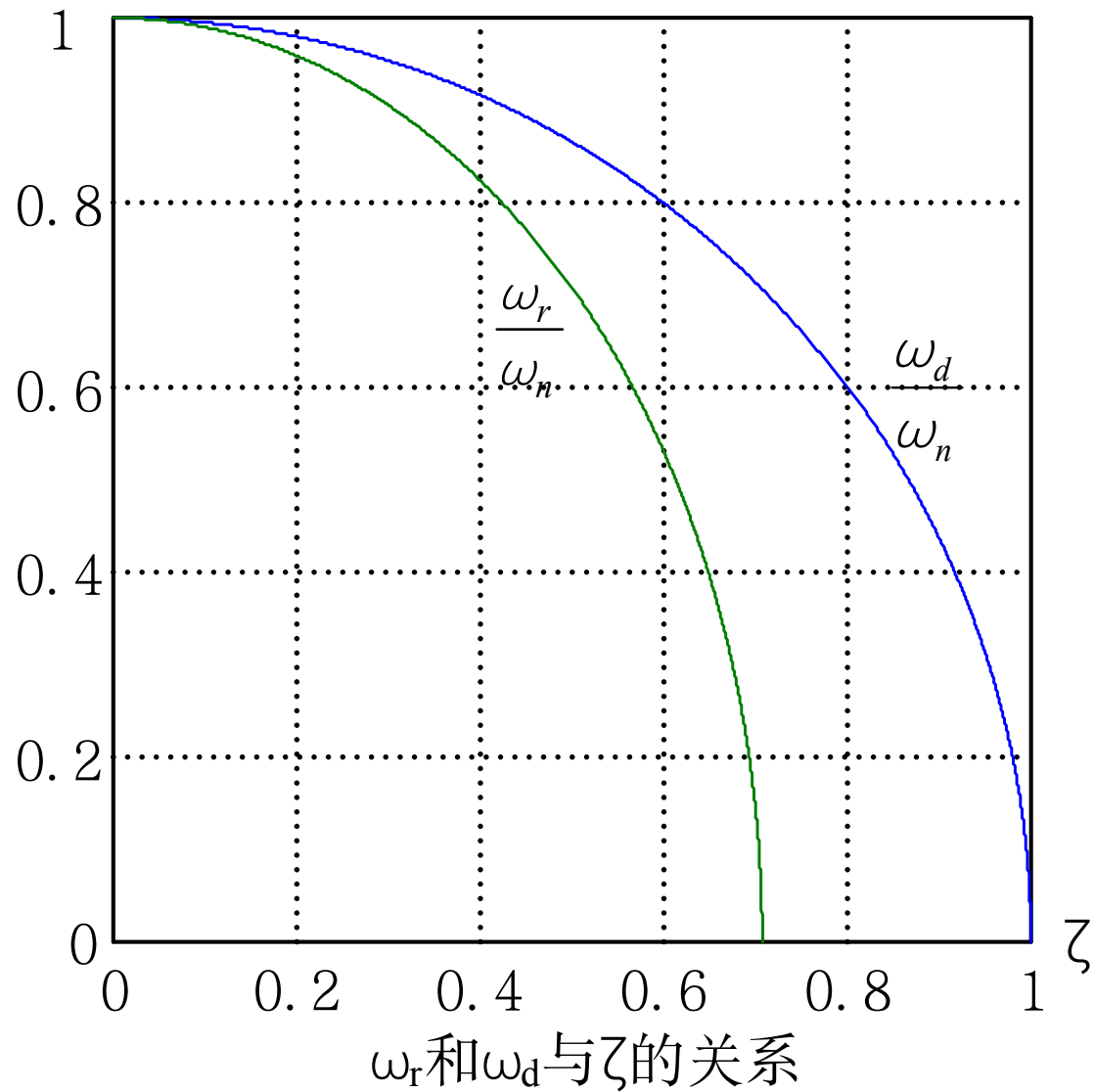
$\sigma\%$ 、 M_r 和 γ 与 ζ 的关系



ω_n 和 ω_b 与 ζ 的关系



5.7 闭环频率特性

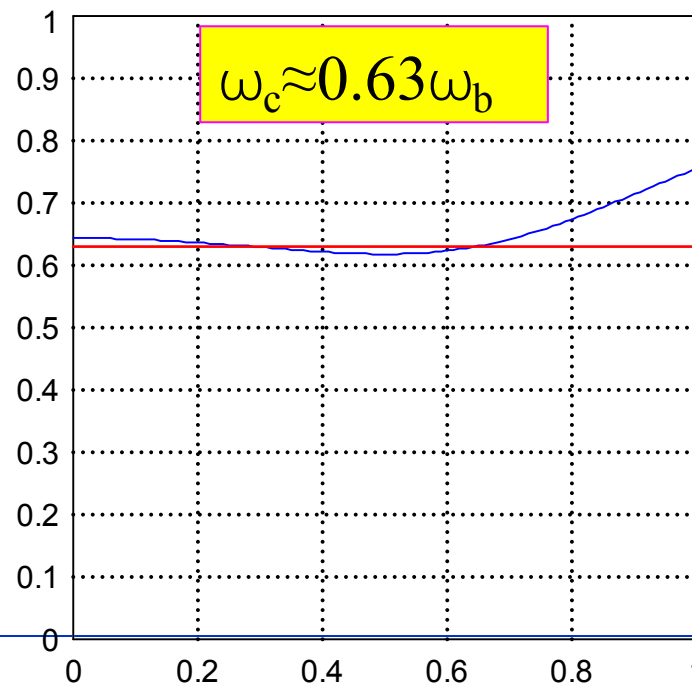
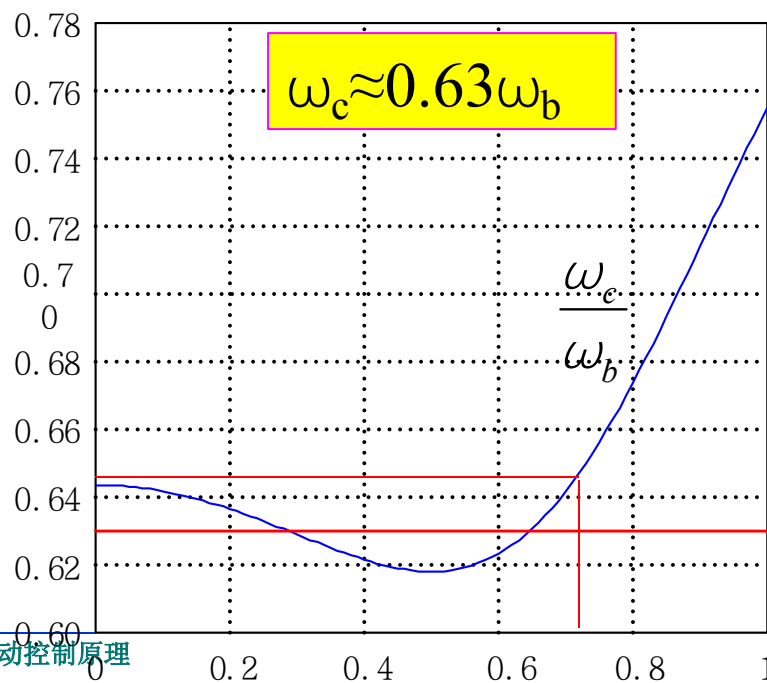




5.7 闭环频率特性

$$\frac{\omega_c}{\omega_b} = \sqrt{(\sqrt{4\zeta^4 + 1 - 2\zeta^2}) / (\sqrt{2 - 4\zeta^2 + 4\zeta^4 + 1 - 2\zeta^2})}$$

ζ	0	0.1	0.2	0.3	0.4	0.5	0.6	0.7	0.8	0.9	1.0
γ	0	12	24	35	45	53	61	65.2	72	75	78
ω_c/ω_b	0.644	0.642	0.636	0.629	0.622	0.618	0.623	0.644	0.674	0.714	0.755





5.7 闭环频率特性

例4：一系统的开环传递函数为

$$G_o(s) = \frac{K(1 + 0.2s)(1 + 0.05s)}{s^3(1 + 0.01s)(1 + 0.002s)}$$

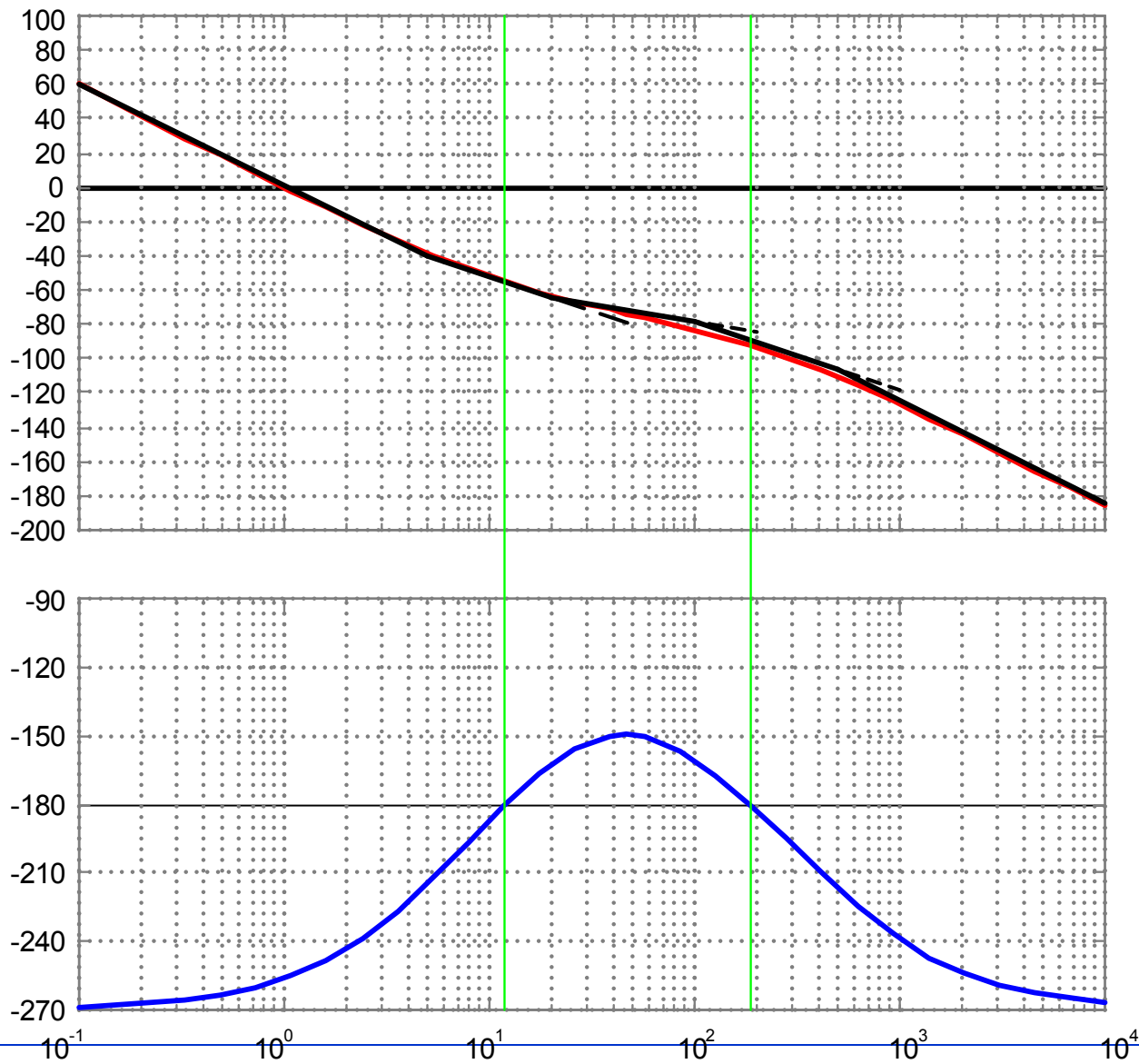
当 $K=1$ 时

$$L(\omega) = 20\lg K + 20\lg\sqrt{1 + (0.2\omega)^2} + 20\lg\sqrt{1 + (0.05\omega)^2} \\ - 60\lg\omega - 20\lg\sqrt{1 + (0.01\omega)^2} - 20\lg\sqrt{1 + (0.002\omega)^2}$$

$$\varphi(\omega) = \arctan(0.2\omega) + \arctan(0.05\omega) - 270^\circ - \arctan(0.01\omega) - \arctan(0.002\omega)$$

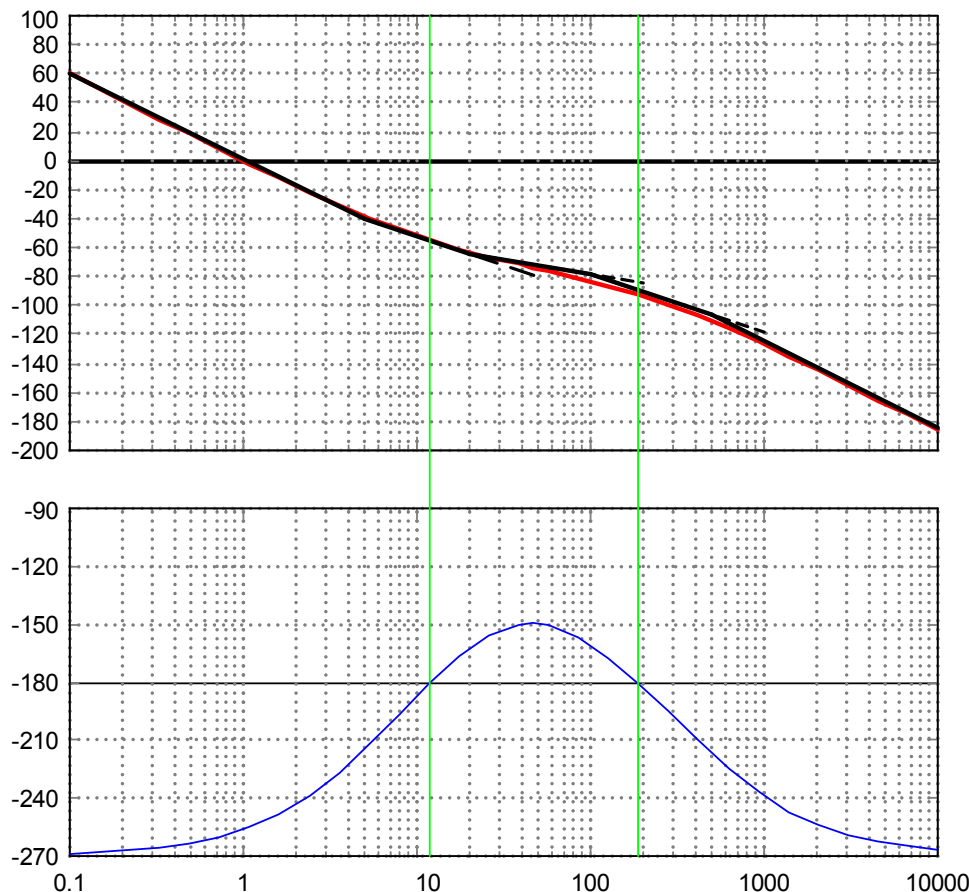


5.7 闭环频率特性





5.7 闭环频率特性



此时, $\omega_c=1$, $\varphi(\omega_c)<-180^\circ$, 系统不稳定

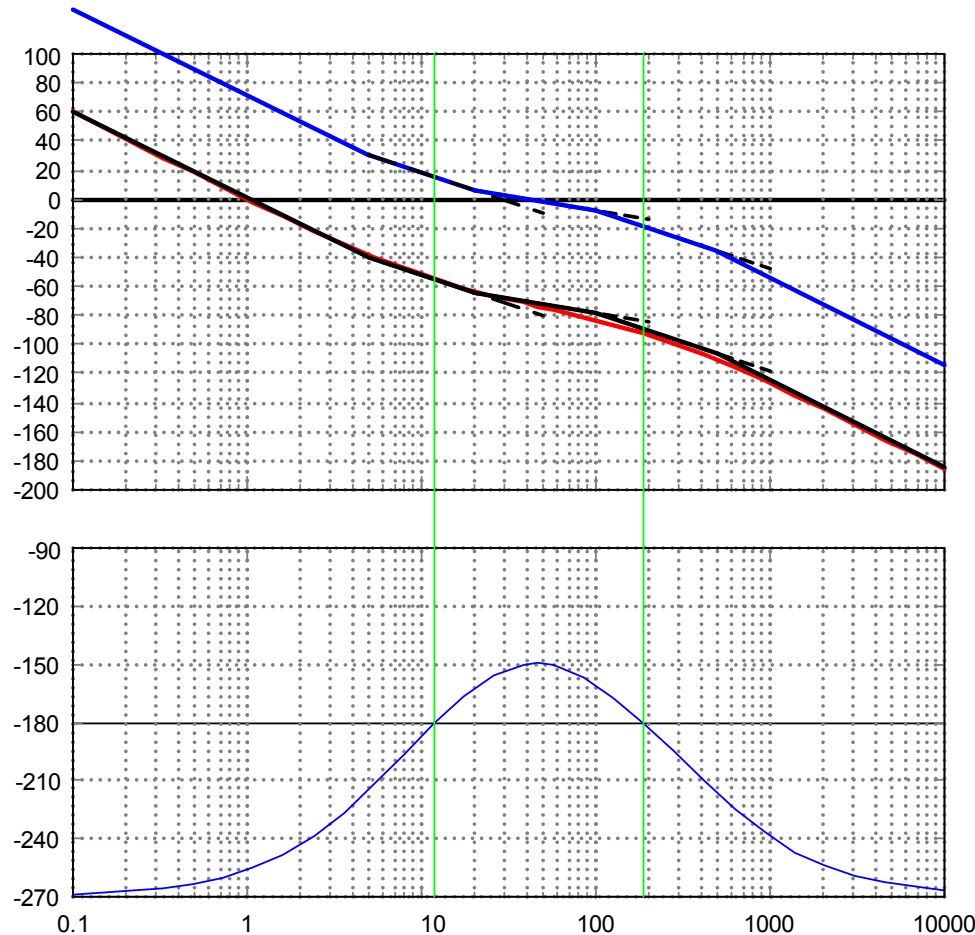
改变K值, 就可改变 ω_c 值, 从而改变 $\varphi(\omega_c)$ 及 γ 值。

一般而言, 当 $L(\omega)$ 在 ω_c 处的斜率处于-20dB/dec时, 系统是稳定的; 当 $L(\omega)$ 在 ω_c 处的斜率处于-40dB/dec时, 系统可能稳定也可能不稳定, 即使稳定, γ 也是较小的; 当 $L(\omega)$ 在 ω_c 处的斜率处于-60dB/dec时, 系统则肯定是不稳定的。

为使系统具有一定的相位裕量在系统设计时, 应使 ω_c 处于 $L(\omega)$ 的斜率-20dB/dec的段内。



5.7 闭环频率特性



此时, $\omega_c=1$, $\varphi(\omega_c)<-180^\circ$, 系统不稳定

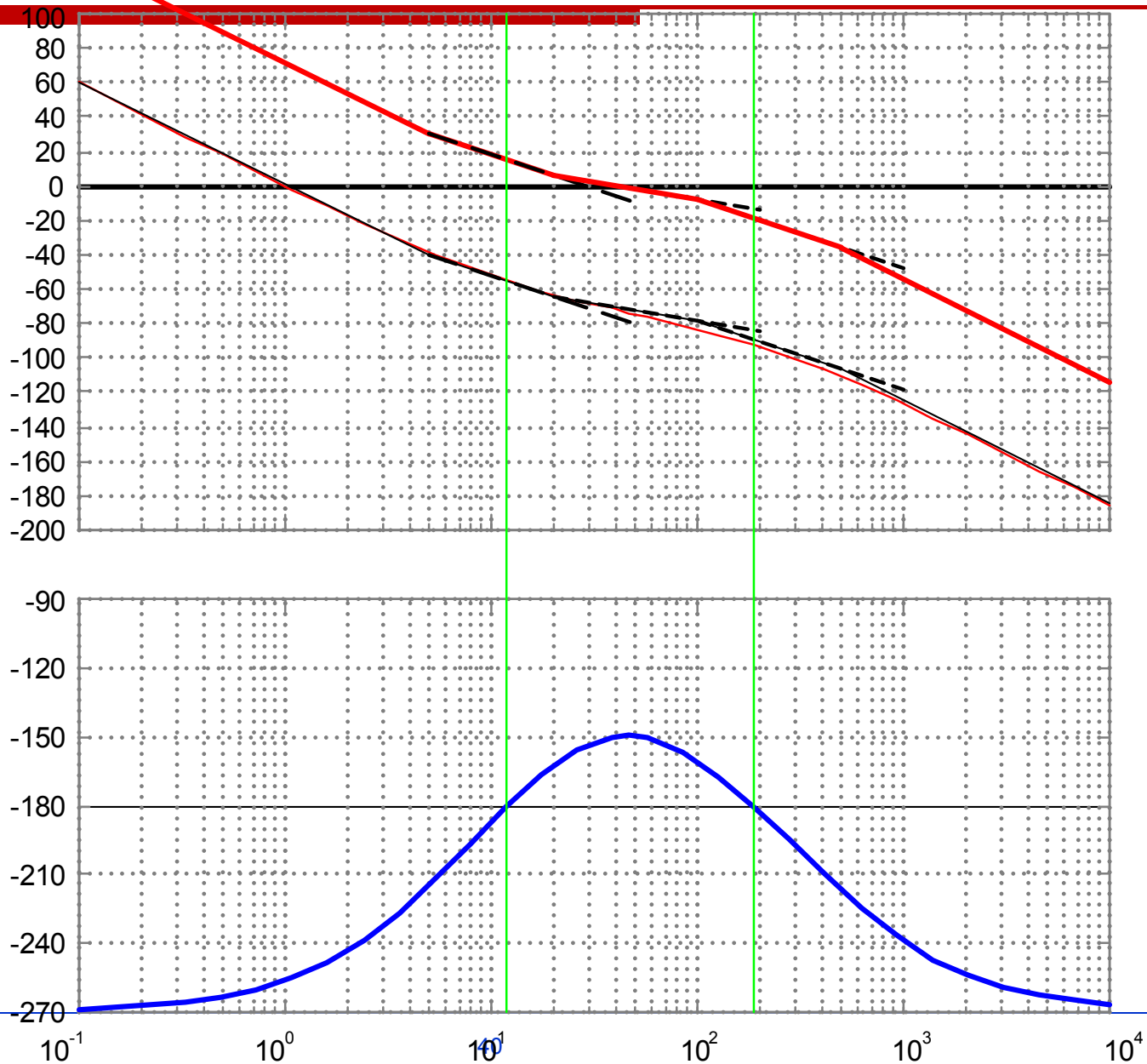
改变K值, 就可改变 ω_c 值, 从而改变 $\varphi(\omega_c)$ 及 γ 值。

一般而言, 当 $L(\omega)$ 在 ω_c 处的斜率处于-20dB/dec时, 系统是稳定的; 当 $L(\omega)$ 在 ω_c 处的斜率处于-40dB/dec时, 系统可能稳定也可能不稳定, 即使稳定, γ 也是较小的; 当 $L(\omega)$ 在 ω_c 处的斜率处于-60dB/dec时, 系统则肯定是不稳定的。

为使系统具有一定的相位裕量在系统设计时, 应使 ω_c 处于 $L(\omega)$ 的斜率-20dB/dec的段内。



5.7 闭环频率特性

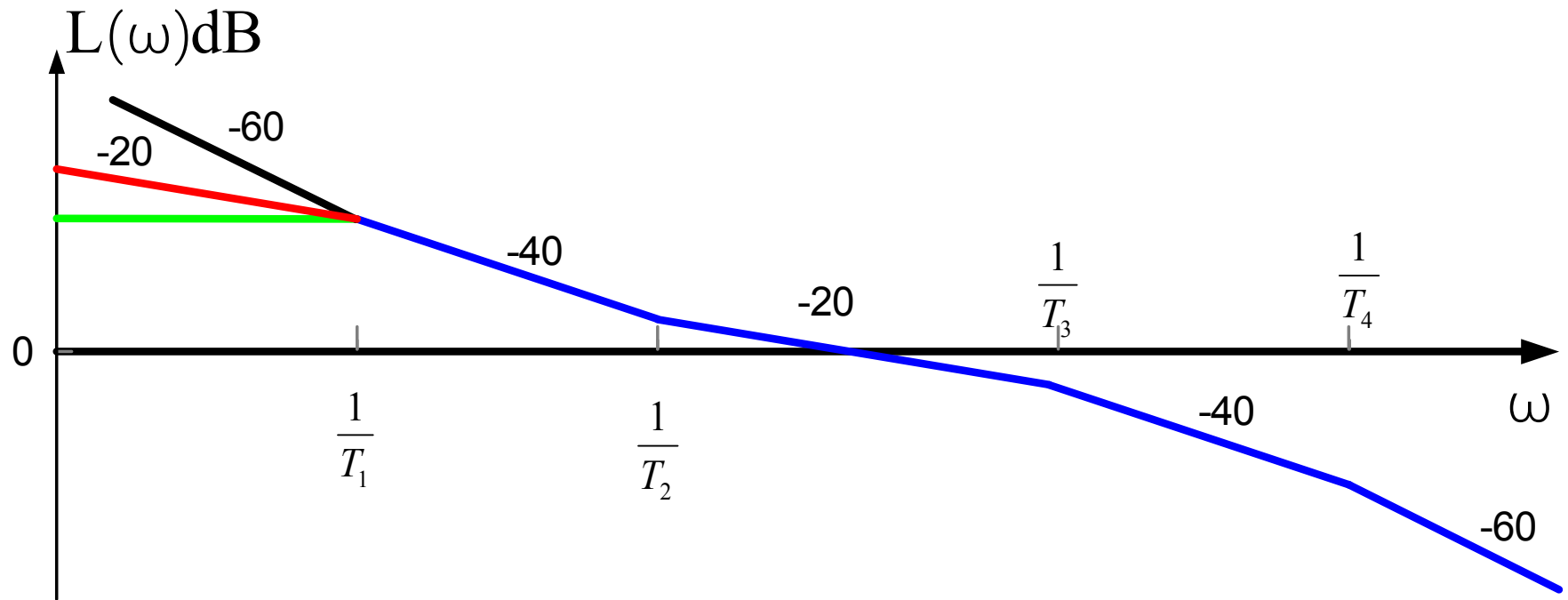




5.7 闭环频率特性

$$G_o(s) = \frac{K(T_2s + 1)}{s(T_1s + 1)(T_3s + 1)(T_4s + 1)}$$

$$G_o(s) = \frac{K(\frac{a}{\omega_c}s + 1)}{s(\frac{ab}{\omega_c}s + 1)(\frac{1}{c\omega_c}s + 1)(\frac{1}{cd\omega_c}s + 1)}$$





5.7 闭环频率特性

当 $a \geq 2$, $b \geq 2$, $c \geq 2$, $d \geq 1$, 闭环系统性能可用下式估计

$$t_s \approx (6 \sim 8) \frac{1}{\omega_c} \quad \sigma\% \approx \frac{0.64 + 0.16h}{h - 1}$$

式中 h 为中频段宽度, $h = \frac{T_2}{T_3}$

开、闭环频率性能指标有如下关系

$$\gamma = \arcsin \frac{h - 1}{h + 1} \quad M_r = \frac{h + 1}{h - 1} \quad h = \frac{M_r + 1}{M_r - 1} \quad M_r = \frac{1}{\sin \gamma}$$

闭环系统性能也可用下式估计

$$\sigma\% \approx 0.16 + 0.4(M_r - 1) \quad 1 \leq M_r \leq 1.8$$

$$t_s \approx \frac{k\pi}{\omega_c} \quad k = 2 + 1.5(M_r - 1) + 2.5(M_r - 1)^2 \quad 1 \leq M_r \leq 1.8$$



5.7 闭环频率特性

小结

- 稳态性能

 - 开环放大系数的求解

 - 稳态误差

- 时域性能指标

- 频域性能指标

 - 开环：幅值稳定裕度，相角稳定裕度

 - 闭环：零频值，谐振峰值，谐振频率，系统带宽和带宽频率

- 频率特性与系统性能的关系

- 典型二阶系统的频域指标与瞬态性能指标的关系



5.7 闭环频率特性

Thank You !